



استعمال الانموذج المختلط التكاملی الموسمي للتغيرات السكانية في الوحدات الادارية لمحافظة ديالى

Using the seasonal integrative mixed model to predict population changes in the administrative units of Diyala Governorate

م. م هبة هذال خليل⁽³⁾

وزارة التخطيط ونظم المعلومات الجغرافية
/ مديرية احصاء ديالى

Hibahathal03@gmail.com

م. م سارة عادل مظلوم⁽²⁾

الجامعة التقنية الوسطى / معهد تقني
الصويره / قسم تقنيات المحاسبة

sarah_adel@mtu.edu.iq

م. م امل هادي رشيد⁽¹⁾

جامعة ديالى / كلية الادارة والاقتصاد /
قسم الاحصاء

amal@uodyiala.edu.iq

المستخلص

تعد المؤشرات السكانية من اهم المؤشرات في اي بلد من بلدان العالم، وتعد التغيرات السكانية حالة طبيعية نتيجة للزيادة والنقصان الحاصلة في عدد السكان وتنثر الحركة السكانية ومعدلات النمو السكاني بعده عوامل اذ ان الدول التي تعاني من اضطرابات في الاقتصاد والحروب الدائمة نلاحظ الانخفاض في اعداد السكان نتيجة للظروف التي يعاني منها البلد مقارنة بالدول المستقرة من حيث الامان ، حيث ان عدد السكان مستقر نوعا ما، و ان الهرم السكاني يكون في حالته الطبيعية من حيث الشكل؛ اذ يأخذ شكل الهرم ، يهدف البحث إلى التنبؤ بالنمو السكاني واثر التغيرات الحاصلة في اعداد السكان من حيث الزيادة والنقصان من خلال الوحدات الادارية ليكون عدد التنبؤ اكثرا دقة من حيث التغير السكاني الحاصل في المحافظة ، وتركزت مشكلة البحث في معرفة مدى التغير الحاصل في التغيرات الديموغرافية من حيث اعداد السكان ، واستعملت السلسلة الزمنية للتنبؤ ، وتوصلت الدراسة إلى افضل انموذج يمثل بيانات الحضر، هو الانموذج SARIMA(0,1,1)(0,1,1)^890 وافضل انموذج يمثل الريف هو الانموذج SAMIMA(1,0,0)(2,1,0)^890 وبعد أخذ السلاسلتين تبين أنها غير مستقرة ومن أخذ الفرق الاول تم استقرارها وبعد اختبار الانموذج وتبين انه افضل انموذج لتمثيل بيانات الدراسة تم التنبؤ لها واوضحت النتائج انها نتائج مثالية بسبب قلة مقدار الخطاء وكونها قريبة من مثيلتها لبيانات الأصلية للدراسة واوضحت النتائج التنبؤية، انه توجد زيادة وفروق معنوية كبيرة من حيث ازيد اعداد السكان في الحضر بالنسبة للريف

الكلمات المفتاحية:

التغيرات السكانية ، التكاملی ، التنمية ، المجتمعات المعاصرة ، الموسمي ، المختلط

Abstract

Population indicators are among the most important indicators in any country in the world. Population changes are a natural phenomenon resulting from the increase and decrease in the number of inhabitants. Population movement and growth rates are influenced by several factors. Countries experiencing economic disturbances and ongoing wars often see a decline in population numbers due to the conditions affecting the country, in contrast to stable countries in terms of security, where the population remains relatively stable and the population pyramid appears in its natural shape, resembling a pyramid.

The research aims to predict population growth and the impact of changes in population numbers regarding increase and decrease through administrative units to make the predictions more accurate concerning demographic changes in the province. The research problem focused on understanding the extent of changes in demographic shifts in terms of population numbers. Time series were used for forecasting, and the study concluded that the best model representing urban data is the SARIMA(0,1,1)(0,1,1)^90 model, while the best model representing rural data is the SAMIMA(1,0,0)(2,1)^90 model.

After analyzing the two series, it was found that they were unstable, and taking the first difference stabilized them. After testing the model, it was determined to be the best model for representing the study data. The predictions showed ideal results due to the low error margin and their closeness to the original data of the study. The predictive results indicated a significant increase and meaningful differences in the population numbers in urban areas compared to rural areas.

Keywords :Population changes, integrative, development, contemporary societies, seasonal, mixed.

1.المقدمة

تعد العلاقة بين السكان والتنمية من أكثر العلاقات اشكالية في المجتمعات المعاصرة ومن هنا ظهرت أهمية على التركيز على التغيرات الديمografية للسكان ودمجها مع جوانب التنمية، إذ أكد على أن إهمال المتغيرات الديموغرافية الكمية والنوعية من شأنه أن يؤدي إلى اعتماد سياسات غير متكاملة وقصور واضح في برامج التنمية خاصة الهيكل العمري للسكان وعلاقته بالنمو والفقير. حيث هدفت الدراسة إلى اخذ نماذج السلسل الزمنية للوقوف عن اهم مشاكل السكان لما لها من اهمية في التنبؤات المستقبلية ووضع الخطط والحلول الازمة وتحليل بيانات موضوع الدراسة.

2- مشكلة البحث

يتبع العراق تقسيم مساحاته الجغرافية إلى الوحدات السكانية والمتمثلة بالمحافظات وهذه الوحدات السكانية تتكون من بلوكات خاصة وتكون في الحضر والريف، وتمحورت الدراسة حول مشكلة التنبؤ بأعداد السكان وفق التقسيمات الإدارية للحضر والريف في محافظة ديالى وذلك من خلال استعمال السلسلة الزمنية (نماذج بوكس - جنكيرز).

ومن هنا جاءت أهمية دراسة التغيرات الحاصلة في اعداد السكان لكونهم العامل الاساس في التنمية والتطوير. حيث تمحورت الدراسة حول التنبؤ بأعداد السكان لمحافظة ديالى ولتكون التنبؤ بشكل أعمق، تم اخذ البيانات المستعملة بأعداد السكان حسب الوحدات الإدارية وكل جانب من الحضر والريف

3- هدف البحث

تهدف الدراسة إلى ايجاد أفضل انموذج يمثل بيانات الدراسة للوقف عن الاسباب الحقيقة لأعداد السكان والتغيرات الحاصلة لكونهم العامل الاساس في التنمية والتطوير ومن ثم التنبؤ لها

4- السلسلة الزمنية

يطلق على تسلسل المتغيرات العشوائية $\{Z_t\}$ عملية عشوائية ويعمل كنموذج لسلسلة زمنية مشاهدات. ومن المعروف أن البنية الاحتمالية الكاملة لمثل هذه العملية يتم تحديدها من خلال مجموعة التوزيعات لجميع المجموعات المحدودة من Z ، ويمكن مشاهدتها خلال فترات زمنية متعددة متساوية المسافات (يومية ، أسبوعية ، شهرية ، ربع سنوية ، و سنوية) تحتوي السلسلة الزمنية على متغير مستقل (independent) هو الزمن (t) والمتغير التابع (dependent) وهو قيمة الظاهرة المدروسة (Z_t). وإن المكونات (العناصر) الأربع الخاصة بالسلسلة الزمنية والتي تتأثر بالعوامل الاقتصادية والبيئية والاجتماعية والسياسية [6].

1-4 أستقرارية السلسلة الزمنية (Check Stationary of Time Series)

من أجل الوصول إلى استدلال احصائي حول بناء العملية العشوائية وعلى اساس المشاهدات لتلك العمليات ووضع افتراضات حول السلسلة الزمنية يجب ان تكون السلسلة مستقرة ، وال فكرة الاساسية لاستقرارية السلسلة هي ان القوانين الاحتمالية التي تحكم سلوك العملية لا تتغير بمرور الزمن لي وجه التحديد، يقال أن العملية $\{Z_t\}$ تكون مستقرة تماماً إذا كان التوزيع المشترك لـ $Z_{t1}, Z_{t2}, \dots, Z_{tn}$ هو نفس التوزيع المشترك $Z_{t1-k}, Z_{t2-k}, \dots, Z_{tn-k}$ لجميع اختيارات النقاط الزمنية (t_1, t_2, \dots, t_n) وجميع اختيارات الفارق الزمني k [3].lag

الشرط الأول للاستقرارية: ان يكون المتوسط ثابت، أي ان السلسلة لم تظهر اي اتجاه للتزايد أو التناقص مع الزمن، فإنه يمكن افتراض ان المتوسط ثابت لكل فترة زمنية وافتراض إن القيمة المشاهدة عند كل فترة زمنية تمثل هذا المتوسط فيكون الوسط الحسابي مستقر إذا تحقق الشرط الآتي:

$$E(Z_t) = \mu_t = \mu \text{ is constant for all } t \dots \dots \dots (1)$$

الشرط الثاني عند ثبات التباين تكون قيمة التباين يتحقق شرط ثبات التباين اذا تحقق:

$$Var(Z_t) = E[(Z_t - \mu)^2] = \sigma^2 \quad \dots \dots \dots \quad (2)$$

إذ إن تباين السلسلة الزمنية ثابتًا ولا يعتمد على قيم t وتقديره:

الشرط الثالث دالة التباين المشترك الذاتي Autocovariance هي دالة فرق الزمن المشترك

$$cov(Z_t, Z_s) = E[(z_t - \mu)(z_s - \mu)] = \gamma|t - s| \quad \dots \dots \dots \quad (3)$$

وهي فقط مسافة الزمنية بين المتغيرين العشوائيين ولا تعتمد على الزمن t .

ويكون الاستقرارية ضعيفة نظرًا لأن استقرارية التباين المشترك γ لـ $s=t$ فأن العملية العشوائية تكون مستقرة بصورة ضعيفة عندما يكون الوسط والتباين مستقر [6]

2-1-4 دالة الارتباط الذاتي (ACF) Autocorrelation Function

ويقيس معامل الارتباط الذاتي P_k قوة العلاقة (الارتباط) بين القيم المشاهدة Z_t و Z_{t+k} من المشاهدات أو بين المتغيرات العشوائية ، فإن معامل الارتباط الذاتي سيكون كما يأتي :

$$P_k = \frac{E(Z_1, Z_{t+k}) - E(Z_1)E(Z_{t+k})}{\sigma_{Zt}\sigma_{Zt+k}} \quad \dots \dots \dots \quad (4)$$

وبإضافة نموذج التشويش الإبيض White - Noise Model للسلسلة الزمنية Z_t التي لها متوسط μ وتباين σ^2 ودالة تباين مشترك γ_k سيكون معامل الارتباط الذاتي P_k كما يأتي [2]:

$$P_k = \frac{\gamma_k}{\gamma_0} = \frac{\gamma_k}{\sigma_{ZZ}} \quad \dots \dots \dots \quad (5)$$

ولإجراء الاختبار الخاص بمعرفة معنوية الارتباط الذاتي يتم استعمال اختبار جذر الوحدة (Unit Root Test) وهو اهم الاساليب المستعملة لفحص استقرارية السلسلة الزمنية ويتحقق شرط الاستقرارية عندما تكون جذور الوحدة للسلسلة تقع داخل دائرة الوحدة، ومن أهم الطرق المستعملة للكشف عن استقرار السلسلة الزمنية هو اختبار ديكى _ فولر الموسع (ADF) وفيه أقترح العالمان ديكى _ فولر الموسع (Augment Dickey Fuller) عام (1981) فرضية وجود جذر الوحدة (الفرضية الصفرية) الآتية :

$$H_0: |\lambda_1| = 0 \quad VS \quad H_1: |\lambda_1| \neq 0 \quad \dots \dots \dots \quad (6)$$

حيث تشير الفرضية الصفرية (فرضية عدم) إلى وجود جذر الوحدة بالسلسلة الزمنية مما يدل على أن السلسلة غير مستقرة والفرضية البديلة تكون عكس الفرضية الصفرية مما يدل على أن السلسلة تكون مستقرة، ومن أجل الحصول على نتائج اختبار الفرضية فإنه سوف يتم الاعتماد على طريقة المربعات الصغرى لتقدير معامل النموذج الذي تكون معادلته كالتالي [2]:

$$\Delta Z_t = \lambda_1 Z_{t-1} + \sum_{i=1}^n \theta_i \Delta Z_{t-i} + \varepsilon_t \quad \dots (7)$$

وأن المعلمة λ_1 يمكن الحصول عليها من المعادلة التالية :

$$|\lambda_1| = \theta - 1 \quad \dots (8)$$

ولحصول على قيمة t_{λ_1} المحسوبة في معادلة رقم (12) من خلال قسمة المعلمة $\hat{\lambda}_1$ على الانحراف المعياري كما في أدناه :

$$t_{\lambda_1} = \frac{\hat{\lambda}_1}{\hat{\sigma}_{\hat{\lambda}_1}} \quad \dots (9)$$

حيث أن : $\hat{\lambda}_1$: معلمة مقدرة بواسطة طريقة المربعات الصغرى . $\hat{\sigma}_{\hat{\lambda}_1}$: تباين المعلمة المقدرة . t_{λ_1} : القيمة المحسوبة

و عند مقارنة t_{λ_1} المحسوبة مع قيمة t_{table} الجدولية (التي يتم الحصول عليها من جدول Dickey-Fuller) فإذا كانت المحسوبة أكبر من الجدولية فهذا يعني أن السلسلة الزمنية تكون سلسلة غير مستقرة فيتم عدم رفض الفرضية الصفرية أما إذا كانت المحسوبة أصغر من الجدولية أن السلسلة الزمنية أي تكون سلسلة مستقرة.

٤-٣ الارتباط الذاتي الجزئي (Partial Autocorrelation Function) PACF

تمثل العلاقة بين قيم متتالية لمتغير ما خلال فترتين زمنيتين مختلفتين ، مع افتراض ثبات الفرات الأخرى ، ويرمز دالة الارتباط الذاتيالجزئي بالرمز P_{kk} .

ويمكن صياغة المعادلة الرياضية لمعامل الارتباط الذاتي الجزئي P_{44} باتباع الصيغة الرياضية الآتية:

عند $K=1$ فأنـ

حالت

$$P_{kk} \cong \frac{1}{n} \quad k > 0 - 1$$

لقيم n الكبيرة فان r_{ll} يكون لها تقريراً توزيع طبيعى وبالتالي نستطيع القيام بالاختيار التالى:

$$H_0 : \phi_{lk} = 0$$

$$H_1 : \phi_{ll} \neq 0$$

وذلك باستعمال الصيغة التالية

$$\frac{|P_{kk}|}{n^{-1/2}} = \sqrt{n}|P_{kk}| \dots \dots \dots \dots \dots \dots \dots \quad (11)$$

ان المعلمات $P_{kk} \neq 0$ تسمى بدوال الارتباط الذاتي الجزئي (PACF) والتي تعتبر أداة أخرى مهمة اضافة مع (ACF) تساعدنا في دراسة ومعرفة استقرارية السلسلة الزمنية وتحديد درجة أنموذج (AR) و الأنماذج (MA) و الأنماذج (ARIMA) الملائم لتمثيل بيانات السلسلة الزمنية [5].

5- نماذج بوكس- جنكلز **Models Box of Jenkins**

5-1 نموذج الانحدار الذاتي والمتوسطات المتحركة التكاملية

(Autoregressive Integrated Moving Average Model) (ARIMA)

معظم السلاسل الزمنية التي تتكون في التطبيقات العملية في معظم مجالات المعرفة تكون غير ساكنة لذلك يجب اخذ الفروق للحصول على استقرارية السلسلة، لذلك سنفترض ان (d) هو الحد الادنى من الفروق لتحويلها إلى سلسلة مستقرة او بإجراء التحويلات، وهو يعتبر من أكثر النماذج استعمالاً في التنبؤ ويرمز له (ARIMA p,d,q) بحيث (p) رتب النماذج (AR(p),MA(q)) (d) عدد الفروق. وصيغته العامة كالتالي[7]:

$$Z_t = \phi_1 Z_{t-1} + \dots + \phi_p Z_{t-p} - \theta_1 a_{t-1} - \dots - \theta_q a_{t-q}. \quad (12)$$

5-2-1 النماذج الموسمية **(Seasonal models)**

عند دراسة السلاسل الزمنية الربع سنوية أو الشهيرية في كثير من الأحيان يشاهد نمط موسمي اذ يلاحظ تكرار حدوث ارتفاع او انخفاض عند الشهر نفسه او ربع السنة تقريبا في الأعوام المتتالية، عند محاولة بناء أنموذج لمثل هذا النوع من السلاسل فإنه من الطبيعي دراسة الارتباط بين مشاهدات نفس الموسم في السنوات المتتالية فضلا عن دراسة الارتباط بين مشاهدات المواسم المتتالية.

5-2-2 نماذج الانحدار الذاتي الموسمية **(Seasonal autoregressive models)**

يمكن تعليم المعادلة المذكورة افلا للأنموذج (SAR(p)) بالصيغة الآتية :

$$Z_t = \phi_1 Z_{t-s} + \phi_2 Z_{t-2s} + \dots + \phi_p Z_{t-ps} + a_t \dots \dots \dots \dots \dots \dots \dots \quad (13)$$

اذ يكون دالة الارتباط الذاتي (ACF) لا نموذج الانحدار الذاتي الموسمي والارتباط الذاتي الجزئي (PACF) فإنه خصائصها تشبه خصائص دالة الارتباط الذاتي لا نموذج الانحدار العادي ودالة الانحدار الذاتي الجزئي للنماذج غير الموسمية فيما عدا ذلك يلاحظ ظهور عدة قيم لمعاملات الارتباط الذاتي واضحة عند مضاعفات (S) . [4]

5-2-3 نماذج الأوساط المتحركة الموسمية **(Seasonal moving average models)**

يمكن تعليم المعادلة للأنموذج (SMA) كالتالي :

$$Z_t = a_t - \theta_1 a_{t-s} - \theta_2 a_{t-2s} - \theta_q a_{t-qs} \dots \quad (14)$$

اذ تمثل θ معلمة الاوساط المتحركة .

(a) تمثل التغير العشوائي الذي حدث في نفس الموسم للسنة السابقة بطول مدة الدورة الموسمية (S) .

3-2-5 النماذج المختلطة التكاملية الموسمية

Seasonal integrated(ARIMA)models

يرمز لهذا الأنماذج بالرمز (SARIMA) من الرتبة $(P,D,Q)_s$ ن السلسل الزمنية الموسمية غير المستقرة يمكن تحويلها إلى مستقرة وذلك بأخذ الفروق الموسمية (D) لها اذ ان ($D=1,2, \dots$) اذ ان الفرق الموسمي يعتمد على مدة طول فترة الموسم وان الفرق الموسمي الأول يأخذ الصيغة الآتية [1] :

$$Z'_t = Z_t - Z_{t-s} \dots \quad (15)$$

والأنماذج المختلط الموسمى المأخوذ له الفروق الموسمية فيأخذ الصيغة الآتية :

$$\Phi_p(B^s)(1-B)^d_s Z_t = \theta_q(B^s)e_t$$

$$\Phi_p(B^s) = 1 - \phi_1 B^1 - \phi_2 B^2 - \dots - \phi_p B^{ps} \dots \dots \dots \quad (16)$$

4-2-5 نماذج المتوسطات المتحرك الموسمى لانحدار الموسمى الذاتي التكاملى

Seasonal Autoregressive Integrated Moving Average Models (SARIMA(P,D,Q))

المتسلسلات الزمنية الموسمية تعطي انط مماثلة تتكرر على فترات معينة متباينة بالبعد مثل ان يتكرر النمط كل موسم من السنة او يتكرر حسب الحالة الدراسية بوقت معين [1] .

بشكل عام يكتب أنماذج السلسلة الزمنية لنماذج الانحدار الذاتي التكاملى المتحرك

$$SARIMA(p,d,q)(P,D,Q)$$

$$\Phi_p(B)\Phi_p(B^s)(1-B)^d(1-B^s)^D z_t = \delta + \theta_q(B)\Theta_Q(B^s)a_t \dots \quad (17)$$

$$a_t \sim WN(0, \sigma^2)$$

6- تحديد رتبتي الانحدار الذاتي والمتوسطات المتحركة

قام بوكس وجنيكتر بوضع أسلوباً لتحديد رتبة الأنماذج والذي يعتبر أداة من أدوات التشخيص (معرفة نوع الأنماذج) حيث يتم تحديد أنماذج (ARIMA) الملائم لها، حيث تعتبر أحد المفاتيح الفعالة للتمييز بين الـ نماذج AR(p) والـ نماذج MA(q) والنماذج المختلطة ARMA (p,q) وتحديد رتبة كل منه [6].

٦- معيار أكايكى (Akaikie)(AIC)

وضع العالم الياباني اكايكي في عام 1974 معيار التطوير ونمذجة السلسل الزمنية واعتمد فيه أن يكون تقليل تباين الأنماذج مقارنة بزيادة عدد المعالم المقدرة ويستعمل هذا المعيار للتعرف على نوعية ومطابقة الأنماذج وفي تحديد الرتبة وصيغته [10]

$$AIC \approx n \log \sigma_e^2 + 2K \dots \dots \dots (18)$$

σ^2 يمثل متوسط مربعات الخطأ (MSE)

k: هي العدد الكلي لمعلمات الأنماذج المقدرة، وتحدد الرتبة باختيار الأنماذج الذي يقابل أقل قيمة للمعيار AIC.

٦-٢ معيار بيز للمعلومات Bayesian information Criterion (BIC)

معايير بيز ويحسب حسب الصيغة الآتية

$$BIC = n \log(\sigma_e^2) + m \log_n(n) \dots (19)$$

حيث ان n : تمثل حجم السلسلة الزمنية ، m : عدد معلمات النموذج .

٦-٣ معيار اكايكي المصحح (AICc)

اقترحه العالمين Hurvich and Tsai عام 1989 ويحسب حسب الصيغة الآتية:

$$AICc = n \log(\sigma_e^2) + \frac{2n(m+1)}{n-m-2} \quad \dots \quad (20)$$

ويستعمل هذا المعíار عندما تكون العينات قليلة

7- التقدير Estimation

بعد تحديد النموذج الملائم فيتم تقدير الانموذج باستعمال عدة طرق وسيتم استعمال طريقة الامكان الاعظم المضبوط (The maximum possible control function) حيث ان السلسلة الزمنية $Z_n = (Z_1, Z_2, \dots)$ والمكونة من نموذج الانحدار الطبيعي ومن الدرجة الاولى (AR(1)) اذن معلمة الانحدار الذاتي $|θ| > 1$ كمية ثابتة لا تتغير بتغير الزمن وان الاخطاء العشوائية تتبع التوزيع الطبيعي [2].

$$\ln L(\phi, \theta, \sigma_a^2) = \left(-\frac{n}{2} \ln 2\pi\sigma_a^2 - \frac{S(\phi, \theta)}{2\pi\sigma_a^2} \right) \quad \dots (21)$$

و عند العينات الكبيرة الحجم فان مصفوفة المعلومات التي تساوي $\begin{pmatrix} \theta \\ 0 \end{pmatrix}$ والمتوفرة بعد أن يتم حساب مصفوفة المشتقات ذات الرتبة $n \times (p+q)$ ويكون

و يتم الحصول على مقدرات الإمكان الأعظم التقريبية بعد أخذ المشتقات جزئية لها اي ان:

$$\frac{\partial a_t}{\partial \theta_i} = \theta^{-1}(B) B^i a_t \dots \dots \dots (23)$$

$$\frac{\partial a_t}{\partial \phi_j} = \emptyset^{-1}(B) B^j a_t \dots \dots$$

1

وان البيانات المشتركة للتقديرات يتم حسابها عن طريق استخدام معكوس مصفوفة المعلومات

8- اختبار نماذج بوکس - جنیکنز A significant test of the Box Jenkins model

بعد تقدير معالم الأنماذج الذي تم تحديده تأتي بعدها مرحلة اختبار صحة معنوية الأنماذج، وان البوافي يجب أن تتوزع بشكل عشوائي تستعمل الفرضية التالية: اذا يستعمل اختبار ليونغ_بوكس (Ljung-Box) (وهو اختبار إحصائي الهدف منه هو التأكد من عدم وجود ارتباط ذاتي للبوافي، تستعمل ايضاً الفرضية الموضوعة للاختبار للتحقق من عشوائية البيانات باستعمال مجموعة من الإزاحتات [5].

$$H_0: r_1(e_t) = r_2(e_t) = \dots = r_k(e_t) = 0$$

$$r_k(e_t) \neq 0$$

$$H_1: r_1(e_t) \neq r_2(e_t) \neq \dots \dots \neq$$

تحسب احصاء الاختبار من العلاقة كالتالي:

$$Q = m(m+2) \sum_{i=1}^k \frac{r_i^2(e)}{(m-i)} \dots \dots \quad (24)$$

إذ أن : $(d - n)$ يمثل عدد مشاهدات السلسلة الزمنية ، d : عدد الفروق . k : أكبر إزاحة

$r_i(e)$: يمثل الارتباط الذاتي للبواقي عند الازاحة (i) ، (Q) توزع بصورة تقريبية توزيع χ^2 بدرجة حرية (K) . $(p-q)$

ومن خلال قيمة الـ (p-value) اذا كانت قيمة الـ (p-value) اكبر من 0.05 تقبل فرضية العدم اي عدم وجود ارتباط ذاتي بين الباقي.

٩- التنبؤ (Forecasting)

هو المرحلة الأخيرة من مراحل منهجية بوكس وجينكتر حيث هو الهدف النهائي من تحليل السلسل الرزمية. إذ لا يمكن الوصول إلى هذه المرحلة حتى يجتاز الانموذج المبدئي جميع الفحوصات والاختبارات التشخيصية الخاصة بأسلوب بوكس وجنكيرز، ان التنبؤ بالقيم المستقبلية باستخدام الأنموذج الأفضل والذي تم تقدير معلماته، وهو الهدف المرجو من بناء الأنموذج الإحصائي، ومن خلال التنبؤ يمكننا معرفة السلوك المستقبلي لظاهره ما بأقل خطأ ، فإذا كانت لدينا سلسلة زمنية معينة مثل $(Z_1, Z_2, \dots, Z_{t-1})$ عندها نتنبأ بالقيمة المستقبلية (Z_{t+1}) للسلسلة بأخذ التوقع الشرطي للتنبؤ في

المدة ($t+T$) عند الزمن (t) وهو تقدير غير متحيز إلى (Y_{t+T}) لنحصل على التنبؤات أقل تباين للخطأ، وان التوقع الشرطي للتنبؤ z عند المدة t على وفق الصيغة الآتية[7]:

$$Z_{t+T} = \phi_1 E(Z_{t+T-1}) + \dots + \phi_{p+d} E(Z_{t+T-p-d}) - \theta_1 E(a_{t+T-1}) - \dots - \theta_{q-d} E(a_{t+T-q-d}) \dots \dots \dots \dots \dots \quad (25)$$

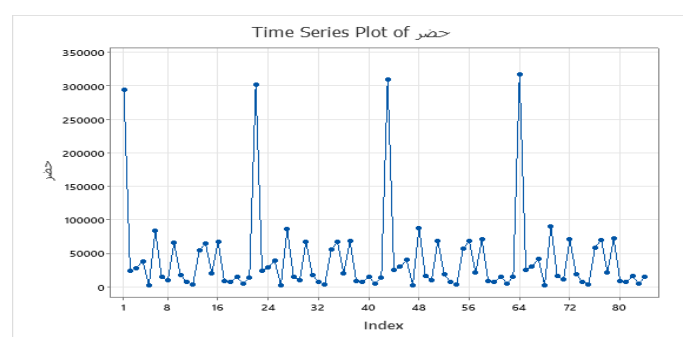
حيث Z_{t+T} : القيمة المتنبأ بها .

10- وصف البيانات وتحليل النتائج

تم جمع البيانات من خلال التقرير السنوي لهيئة الاحصاء ونظم المعلومات الجغرافية - مديرية احصاء دبى ، حيث كان حجم العينة 21 وحدة اداري من حيث الاقضية والنواحي في المحافظة ولأربع سنوات (2023-2020) وتكونت الدراسة من 84 عينة ، وتشتمل اعداد السكان من (الحضر ، الريف) حيث تلخص اعداد السكان بشكل ادق كون الاختلاف بين اعداد السكان بين المنطقتين .

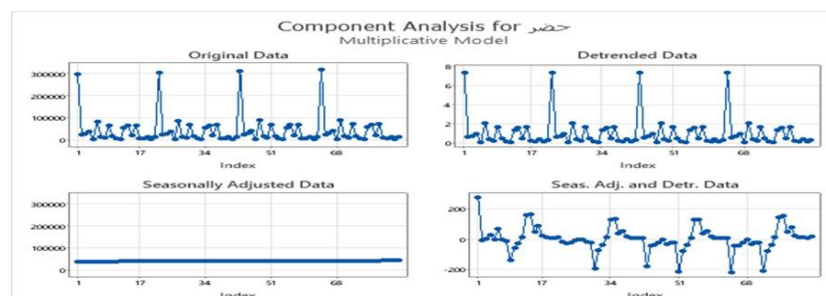
1-10 تحليل السلسلة الزمنية لا عدد السكان بالنسبة لمتغير الحضر

نبدأ برسم السلسلة الزمنية لمعرفة سلوك السلسلة الزمنية



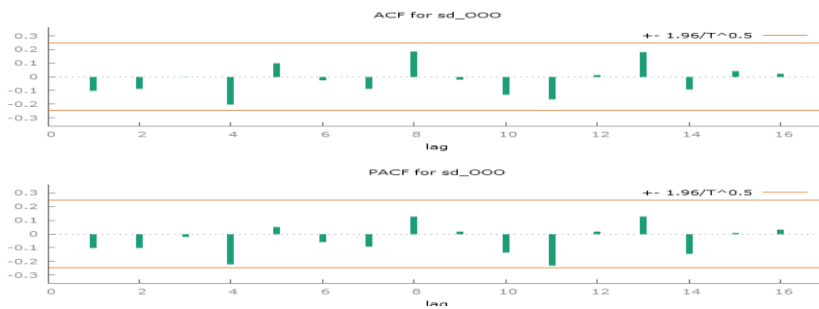
شكل (1) يمثل رسم السلسلة لتغيرات السكانية في محافظة دبى (حضر)

خلال الشكل يمكن ملاحظة السلسلة تحتوي على الاثر الموسمي اذ ان السلسلة تتذبذب في اوقات معينة للسنوات ولتلخص من الاثر الموسمي يتم اخذ الفرق الموسمي.



شكل (2) السلسلة بعد اخذ الفرق الموسمي لها

من خلال الشكل اعلاه نلاحظ ان السلسلة تخلصت من الاثر الموسمي بعد اخذ الفرق لموسمها لها



شكل (3) دالة الارتباط الذاتي ودالة الارتباط الجزئي

نلاحظ من خلال الشكل (3) بان معاملات دالة الارتباط الذاتي مستقرة حيث تقع ضمن حدود الثقة (± 0.5) ، وكذلك بالنسبة لدالة الارتباط الجزئي والجزئي فتقع جميع معاملات ضمن حدود الثقة . وللتتأكد أكثر من استقرارية السلسلة يتم فحص استقراريتها من خلال جذر الوحدة باستعمال اختبار ديكى - فولر.

جدول (1) اختبار ديكى - فولر لاستقراريه السلسلة

Null hypothesis:	Data are non-stationary	
Alternative hypothesis:	Data are stationary	
Test Statistic	P-Value	Recommendation
-6.43843	0.000	Test statistic <= critical value of -3.90839.
		Significance level = 0.05

$$H_0: \phi_1 = 0 \quad (\text{الوحدة جذر وجود})$$

$$H_1: \phi_1 \neq 0 \quad (\text{عد الوحدة جذر وجود})$$

من نتائج الاختبار نلاحظ ان ($p\text{-value} < 0.05$) مما يدل على استقرارية السلسلة .

لتحديد رتبه النموذج ARIMA من خلال اختيار افضل نموذج باستعمال معايير المفاضلة (معيار اكايكي AIC، ومعيار اكايكي المصحح AICc ، ومعيار بيز).

جدول (2) اختيار النموذج Model Selection

SARIMA	AICc	AIC	BIC
$SARIMA(0,1,1)(0,1,1)^{90}$	1078.82	1078.41	1084.84
$SARIMA(1,1,0)(0,1,1)^{90}$	1080.21	1079.52	1088.09
$SARIMA(0,0,1)(0,1,1)^{90}$	1081.88	1081.19	1089.76
$SARIMA(0,1,2)(0,1,1)^{90}$	1086.94	1085.88	1096.60
$SARIMA(0,1,3)(0,1,1)^{90}$	1091.26	1089.76	1102.62
$SARIMA(1,1,1)(0,1,1)^{90}$	1111.16	1110.47	1119.05
$SARIMA(1,1,2)(0,1,1)^{90}$	1114.42	1113.36	1124.08
$SARIMA(0,1,1)(0,1,0)^{90}$	1115.54	1115.14	1121.57
$SARIMA(1,1,0)(0,1,0)^{90}$	1115.89	1115.48	1121.91
$SARIMA(0,1,2)(0,1,0)^{90}$	1115.90	1115.21	1123.78
$SARIMA(0,1,3)(0,1,0)^{90}$	1116.55	1115.50	1126.21
$SARIMA(1,1,3)(0,1,0)^{90}$	1116.93	1115.43	1128.29
$SARIMA(1,1,2)(0,1,1)^{90}$	1134.15	1132.65	1145.51
$SARIMA(1,1,1)(0,1,1)^{90}$	1137.21	1136.16	1146.87

من خلال معايير المفاضلة كان افضل نموذج هو $SARIMA(0,1,1)(0,1,1)^{90}$ ، كون قيم (معيار اکایکی المصحح AICc و معيار اکایکی AIC و معيار بیز BIC) اقل ما يمكن بين جميع القيم المعيارية للنماذج المقترنة ولقد تم تقدير معلمات الأنماذج وفق طريقة الامكان الاعظم المضبوطة كما موضحة في الجدول وتقدير النموذج من خلال الجدول الاتي :

جدول (3) تقدیر الأنماذج

Type	Coef	SE Coef	T-Value	P-Value
SMA 21	-0.746	0.200	-3.73	0.000
Constant	1066	261	4.09	0.000

حيث ان مقدرات النموذج كانت $P\text{-value} < 0.05$ اي ان النموذج معنوي

$$Z_t = 1066 + 0.746$$

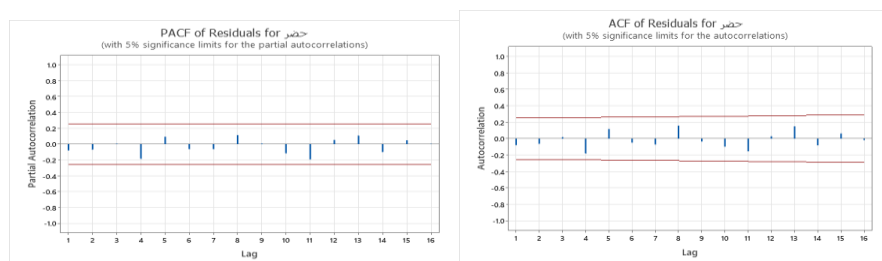
فحص ملائمة النموذج

من خلال تطبيق إحصائية (Ljung-Box) الذي يعتمد على الباقي لفحص ملائمة الأنماذج، وتزداد قيمة P-Value كلما تزداد عدد الإزاحات وهذا دليل على أن الأنماذج جيد وملائم وكفؤ وهي تعني قبول الفرضية العد (لا توجد ارتباطات ذاتية بين الأخطاء)

جدول (4) اختبار ملائمة النموذج

Lag	12	24	36	48
Chi-Square	9.09	33.72	39.34	84.29
DF	10	22	34	46
P-Value	0.524	0.052	0.243	0.000

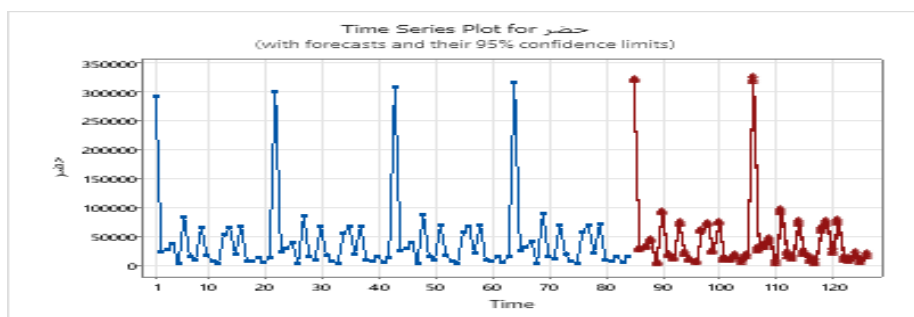
من خلال الجدول نلاحظ ان $P\text{-Value} > 0.05$ اي ان النموذج ملائم ولا يوجد ارتباطات بين المتغيرات



شكل (4) دالة الارتباط الذاتي والارتباط الجزئي للباقي

من خلال الشكل اعلاه نلاحظ ان قيم الباقي ضمن حدود الثقة اي ان الباقي لاتعاني من ارتباطات بين المتغيرات .

بعد التعرف على السلسلة الزمنية وفحص السلسلة وتقديرها تأتي المرحلة الأخيرة من منهجية بوكس جينكز وهي التنبؤ.



شكل (5) السلسلة المتنبأ بها لأعداد سكان الحضر

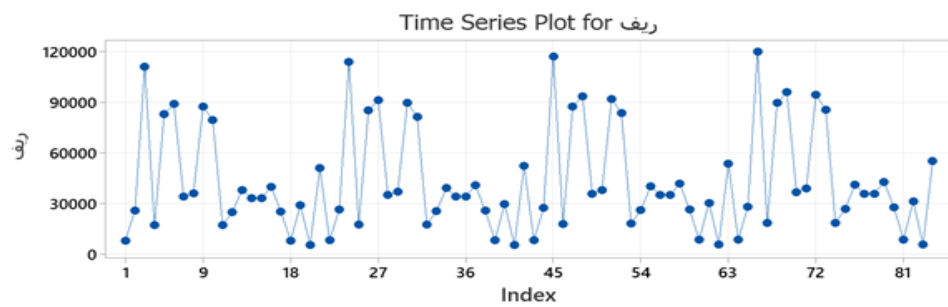
جدول (5) التنبؤ بالسلسلة الزمنية لا عدد السكان الحضر حسب الوحدات الادارية ولسنوات 2024 ، 2025

Years	Time	Forecast	95% Limits		years	Tim	Fore	95% Limits		
			SE Forecast	Lower				Upper		
2024	1	321985	1132.48	3197.65	32420.5	2025	1	32305.18	2278.531854	327518
	2	26382	1132.48	2416.2	28602		2	27448.8	2278.522981	31915
	3	31773	1132.48	2955.3	33993		3	32839.8	2278.528372	37306
	4	42525	1132.48	4030.5	44745		4	43591.8	2278.539124	48058
	5	3647	1132.48	1427	5867		5	4713.246	2278.589180	
	6	92279	1132.48	9005.9	9449		6	9334.558	2278.588878	97812
	7	17156	1132.48	1493.6	1937		7	1822.258	2278.513755	22688
	8	11436	1132.48	9216	1365		8	1250.258	2278.58035	16969

	9	72470	1132.4 8	7025 0	7469 0		9	7353 6	2278. 58	69069	78003
	10	19917	1132.4 8	1769 7	2213 7		10	2098 3	2278. 58	16516	25450
	11	8557	1132.4 8	6337	1077 7		11	9623	2278. 58	5156	14090
	12	4426	1132.4 8	2205	6646		12	5491	2278. 58	1025	9958
	13	59844	1132.4 8	5762 4	6206 4		13	6091 0	2278. 58	56443	65377
	14	72030	1132.4 8	6981 0	7425 0		14	7309 6	2278. 58	68629	77562
	15	22606	1132.4 8	2038 6	2482 6		15	2367 2	2278. 58	19205	28139
	16	74050	1132.4 8	7183 0	7627 0		16	7511 6	2278. 58	70649	79583
	17	9890	1132.4 8	7670	1211 1		17	1095 6	2278. 58	6489	15423
	18	8318	1132.4 8	6098	1053 8		18	9384	2278. 58	4917	13851
	19	16633	1132.4 8	1441 3	1885 3		19	1769 9	2278. 58	13232	22166
	20	6038	1132.4 8	3818	8258		20	7104	2278. 58	2637	11571
	21	16002	1132.4 8	1378 2	1822 2		21	1706 8	2278. 58	12601	21535

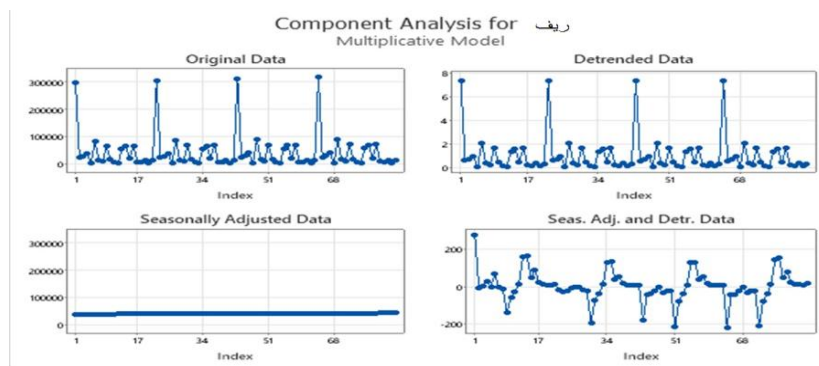
10-2 تحليل السلسلة الزمنية لمتغير الريف

نبدأ برسم السلسلة الزمنية للمتغير المعتمد للتعرف على طبيعة السلسلة



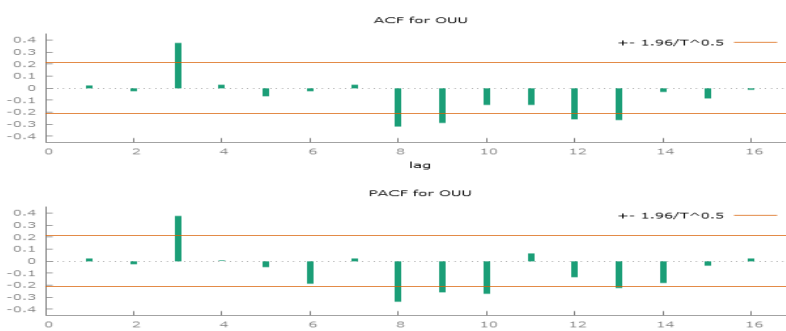
شكل (6) السلسلة لا عدد السكان للوحدات الادارية الريف

خلال الشكل يمكن ملاحظة السلسلة تحتوي على الاثر الموسمي اذ ان السلسلة تتذبذب في اوقات معينة للسنوات وللخلاص من الاثر الموسمي يتم اخذ الفرق الموسمي .



شكل (7) السلسلة بعد اخذ الفرق الموسمي لها

شكل السلسلة بعد اخذ الفرق الموسمي وازالة الاثر الموسمي منها .



شكل (8) دالة الارتباط الذاتي ودالة الارتباط الجزئي

نلاحظ من خلال الشكل (8) بان معاملات دالة الارتباط الذاتي مستقرة حيث تقع ضمن حدود الثقة (± 0.5) ، وكذلك بالنسبة لدالة الارتباط الجزئي والجزئي فتقع جميع معاملات ضمن حدود الثقة . وللتتأكد أكثر من استقرارية السلسلة يتم فحص استقراريتها من خلال جذر الوحدة باستعمال اختبار ديكى – فولر .

جدول (6) اختبار ديكى فولر

Null hypothesis:		Data are non-stationary
Alternative hypothesis:		Data are trend stationary
Test Statistic	P-Value	Recommendation
-5.82065	0.000	Test statistic <= critical value of -3.91477.
		Significance level = 0.05

من نتائج الاختبار نلاحظ ان ($p\text{-value} < 0.05$) مما يدل على استقرارية السلسلة .

جدول (7) اختيار النموذج

SARIMA	AICc	AIC	BIC
$SARIMA(1,0,0)(2,1,1)^{90}$	1078.82	1078.41	1084.84
$SARIMA(1,0,0)(2,1,0)^{90}$	1080.21	1079.52	1088.09
$SARIMA(0,0,1)(2,1,1)^{90}$	1081.88	1081.19	1089.76
$SARIMA(0,0,2)(2,1,1)^{90}$	1086.94	1085.88	1096.60
$SARIMA(0,0,0)(2,1,1)^{90}$	1091.26	1089.76	1102.62
$SARIMA(1,0,2)(2,1,1)^{90}$	1111.16	1110.47	1119.05
$SARIMA(0,0,0)(0,1,1)^{90}$	1114.42	1113.36	1124.08
$SARIMA(0,1,1)(0,1,1)^{90}$	1115.54	1115.14	1121.57
$SARIMA(1,1,0)(0,1,1)^{90}$	1115.89	1115.48	1121.91
$SARIMA(1,1,2)(0,0,0)^{90}$	1115.90	1115.21	1123.78
$SARIMA(0,1,1)(0,0,0)^{90}$	1116.55	1115.50	1126.21
$SARIMA(1,1,0)(0,0,0)^{90}$	1116.93	1115.43	1128.29

$SARIMA(0,1,2)(0,0,0)^{90}$	1134.15	1132.65	1145.51
$SARIMA(1,1,1)(0,0,0)^{90}$	1137.21	1136.16	1146.87

من الجدول اعلاه نحدد رتبه الانموذج ARIMA من خلال اختيار افضل نموذج باستعمال معايير المفضلة ومن خلال معايير المفضلة كان افضل نموذج هو $SARIMA(1,0,0)(2,1,1)^{90}$ كون قيم (معيار اكايكي المصحح AICc وعيار اكايكي AIC وعيار بيز BIC) اقل ما يمكن بين جميع القيم المعيارية للنماذج المقترنة ولقد تم تقدير معلمات الانموذج وفق طريقة الامكان الاعظم المضبوطة كما موضحة في الجدول وتقدير النموذج من خلال الجدول الآتي :

جدول رقم (8) تقدير الانموذج

Type	Coef	SE Coef	T-Value	P-Value
AR 1	-0.016	0.130	-0.12	0.0 03
SAR 21	1.9742	0.0221	89.48	0.000
SAR 42	-0.9662	0.0217	-44.48	0.000
SMA 21	0.915	0.201	4.55	0.000

من خلال اختبار Z وبالاعتماد على قيمة p-value نلاحظ معلمات معنوية لأن قيمة p-value اقل من $(0.05)^{90}$ $SARIMA(1,0,0)(2,1,1)^{90}$

الأنموذج التقديرى

$$-0.016(B)1.9742(B^{21})(1-B)^1(1-B^{21})^1z_t = \delta - 0.9662(B^{21})a_t$$

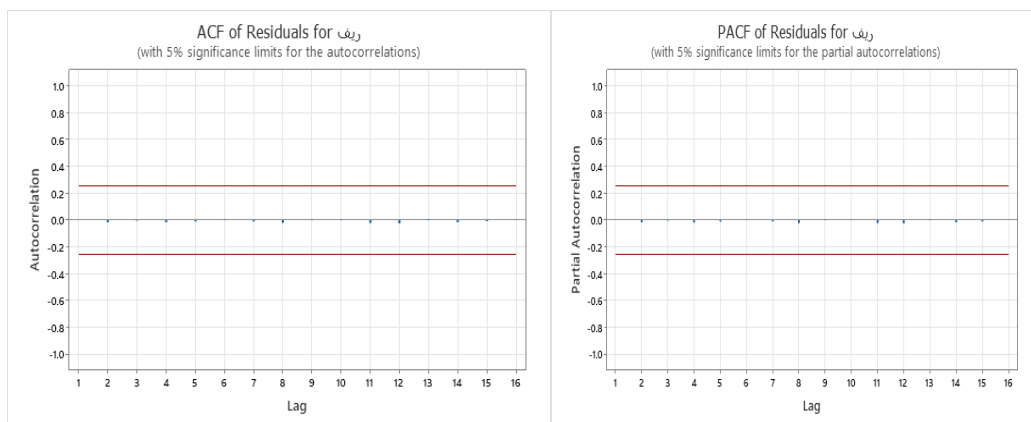
ملائمة النموذج

يستعمل اختبار Ljung -Box لاختبار ملائمة النموذج قبل البدء بالتنبؤ

جدول (9) اختبار ملائمة النموذج

Lag	12	24	36	48
Chi-Square	0.17	37.46	37.73	40.70
DF	8	20	32	44
P-Value	1.000	0.010	0.224	0.614

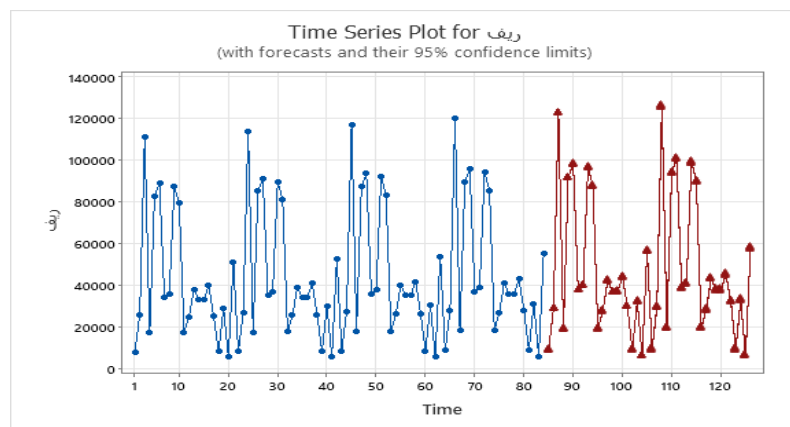
من خلال الجدول نلاحظ ان قيمة (P-Value > 0.05) مما يدل على معنوية النموذج اي لا توجد ارتباطات بين بوافي المتغيرات .



شكل (9) دالة الارتباط الذاتي والارتباط الجزئي للبوافي

من خلال الشكل اعلاه نلاحظ ان قيم البوافي ضمن حدود الثقة اي ان البوافي لاتعاني من ارتباطات بين المتغيرات .

بعد التعرف على السلسلة الزمنية وفحص السلسلة وتقديرها تأتي المرحلة الاخيرة من منهجة بوكس جينكنز وهي التنبؤ



شكل (10) القيم المتنبأ بها للسلسلة الزمنية لأعداد السكان في الريف

جدول (10) التنبؤ بالسلسلة الزمنية لا عدد السكان الريفي حسب الوحدات الادارية ولسنة 2025 2024

years	Tim e	Foreca st	SE Foreca st	95% Limits		year s	Tim e	Foreca st	SE Foreca st	95% Limits	
				Lower	Upper					Lower	Upper
202 4	1	8919	82.986	8756	9082	202 5	1	9148	189.99 5	8776	9520
	2	28755	82.997	28592	28918		2	29490	190.01 5	29118	29863
	3	122848	82.997	12268 6	12301 1		3	125993	190.01 5	12562 0	12636 5
	4	18974	82.997	18811	19137		4	19459	190.01 5	19086	19831
	5	91724	82.997	91561	91887		5	94068	190.01 5	93695	94440
	6	98256	82.997	98093	98419		6	100769	190.01 5	10039 6	10114 1
	7	37732	82.997	37570	37895		7	38702	190.01 5	38329	39074
	8	39795	82.997	39632	39957		8	40817	190.01 5	40445	41190
	9	96648	82.997	96485	96811		9	99124	190.01 5	98752	99497
	10	87707	82.997	87544	87870		10	89953	190.01 5	89580	90325
	11	19053	82.997	18890	19215		11	19544	190.01 5	19171	19916
	12	27555	82.997	27393	27718		12	28259	190.01 5	27886	28631
	13	42178	82.997	42015	42340		13	43260	190.01	42887	43632

								5		
14	36787	82.997	36624	36949		14	37729	190.01 5	37356	38101
15	36826	82.997	36663	36989		15	37769	190.01 5	37396	38141
16	43975	82.997	43812	44138		16	45100	190.01 5	44728	45473
17	29862	82.997	29700	30025		17	32358	190.01 5	31985	32730
18	9058	82.997	8896	9221		18	9290	190.01 5	8917	9662
19	32068	82.997	31905	32231		19	32889	190.01 5	32517	33262
20	6085	82.997	5922	6247		20	6243	190.01 5	5870	6615
21	56481	82.997	56318	56643		21	57941	190.01 5	57569	58314

11 – الاستنتاج

من خلال التحليل الاحصائي للسلسلتين اعداد السكان حسب الوحدات الادارية في محافظة ديالى (الحضر و الريف) نجد الآتي :

- ان سلسلتي التغيرات السكانية المتمثلة بالحضر والريف كانتا غير مستقرة وتحتوي على الاثر الموسمى وقد اخذ الفرق الموسمى الاول للتخلص من هذا الاثر.
- ان انموذج السلسلة الاولى والمتمثلة بالحضر كانت من النوع الموسمية التكاملى المختلط SARIMA(0,1,1)(0,1,1)^90 هو
- ان انموذج سلسلة الثانية المتمثلة بالريف كانت من نوع نموذج المتوسط المتحرك الموسمى للانحدار الموسمى الذاتى التكاملى المختلط هو SAMIMA (1,0,0)(2,1,0)^90
- كان توفيق الانموذج المعتمد لأعداد السكان حسب الوحدات الادارية للسلسلتين توفيقاً جيداً بعد تطبيق اختبار ليونغ بوكس Ljung-Box والذي يظهر عدم وجود فروق معنوية واختبار البوافي يشير ان سلسلة الاخطاء للأنموذج المشخص هي طبيعية.

12- التوصيات

- 1- دراسة إمكانية التغيرات السكانية والاستفادة من التعداد السكاني الذي سيجري في هذه السنة والذي بدوره سيلعب دوراً مهماً في اليه عد السكان مستقبلاً لكونه أقرب للواقع واعتماد على بيئاته تكونها أكثر دقة من التوقع الحاصل في البيانات الحالية اذ اعتمدت سنة 1997 هي السنة الاساس.
- 2- دراسة امكانية استعمال البرامج الاحصائية في التنبؤ باستعمال المحاكاة.
- 3- اعتماداً على القيم التنبؤية التي تم التوصل اليها في هذا البحث نوصي بالاستفادة من النتائج واخذها بنظر الاعتبار من الجهات المختصة وفق النماذج المختارة لوضع الخطط المستقبلية.

13- المصادر

1. الدوري، أحلام احمد جمعة (2003)، (بعض الاختبارات الإحصائية لانموذج الانحدار الذاتي الطبيعي من الدرجة الأولى) أطروحة دكتوراه في الإحصاء – كلية الإدارة والاقتصاد – جامعة بغداد.
2. الزوبعي ، عبيد محمود محسن (2005)، (تشخيص وفحص مدى الملائمة لنماذج السلسل الزمنية المختلطة ذات الرتب الدنيا) أطروحة دكتوراه في الإحصاء – كلية الإدارة والاقتصاد – جامعة بغداد.
3. المهنـا، فراس احمد محمد (2007)، (بعض طرائق التشخيص والتـقدير في الانحدار الذاتي الخطـي وغير الخطـي ذـي الرتب الدنيا) أطروحة دكتوراه في الإحصاء – كلية الإدارة والاقتصاد – جامعة بغداد.
4. Abdullah, M. M., & Masmoudi, A. (2023a). Modeling Real-life Data Sets with a Novel G Family of Continuous Probability Distributions: Statistical Properties, and Copulas. *Pakistan Journal of Statistics and Operation Research*, 719-746.
5. Abdullah, M., M., Mohammed, W. S., & Farhana, A. H. (2023b). The Poisson-Topp-Leone Burr Type-X II Model: Various Uncensored Applications for Statistical Modeling and Some Copulas. *Statistics, Optimization & Information Computing*, 11(2), 276-298.
6. Alaka S,H,(Using Buckth-Jenkins models to predict traffic accident deaths in the Holy Governorate of Karbala for the period (2010-2015)), University of Karbala - College of Administration and Economics - published master's thesis. 2017.
7. Al-Zaidi, K, N, (Traditional methods and alternative methods for testing the unit root of time series stability - a comparative study), Al-Mustansiriya College - of Administration and Economics - Doctoral dissertation, 2015.
8. Hamid, F, A & Arshad, A, (Using time series to predict residential rent index numbers in Iraq for the years 2018-2021). *Journal of Al-Raiding University College for Sciences* (Print ISSN: 1681-6870, Online ISSN: 2790-2293), (2), 77-96, (2019).

9. Majid, A, B, (Using time series to predict consumer price index numbers in Iraq for the period (2018-2022)), University of Baghdad - College of Administration and Economics - Higher Diploma , 2019 .
10. Mohamed, S, B, (A comparison between estimation methods for the parameters of the AR (1) autoregressive model using simulation), Technical Journal, Volume 20, Issue (2) , 2007 .